

1.はじめに

リモートセンシングのマルチスペクトラルスキャナ(MSS)データを応用する分野には土地利用図、森林図、土壤図などの主題図の作成を研究する部門がある。この部門での主題図作成用の判別・分類手法には画素単位の分類法と領域単位の分類法(テキスタイル解析を含む)などがある。この中で画素単位分類法は最大尤度法(以下MLと略記する)、判別分析法(LI)およびユークリッド距離法(EU)などがあり、これらが基本的分類法として初期の解析によく使用されている。現在、これら画素単位の分類法をMSSデータの処理システムに採用しているのを調査したところ、LARSYS, PIA, USAS, PARSなどがその一部である。この中でUSASは著者の開発した手法であり、PARSはUSASの基本的な処理プログラムを組み変えた所が多い。これらのシステム作成の経験とLARSYSやPIAなどの利用経験から総括して、MSSデータの処理システムをユーザ側から考察したところ、下記の諸点項目などについて改善すべき点があることを見い出した。

- ① 処理方法・手順の簡素化.
- ③ トレーニングデータ構造による分散零の発生への対策.
- ② 手法間の重複部分の削除.
- ④ 判別・分類手法の組合せによる処理の可能性と実用性.

これらの諸点項目の問題点の一端を解決するために、USAS手法で使用したアルゴリズムを基盤にして、かつ文献1)の数学モデル実験などを経て、画素単位分類のアルゴリズム上の改善を研究することとした。このアルゴリズム改善を実施したプログラムはCLASIFと名付けることとし、その稼動性を実証する目的で御坊市上空の航空機による CCTデータの適用を試みた。この結果、良好な成果を得ることができたので、CLASIFのアルゴリズム内に取り入れたキー parameter を主体にその概要を述べる。

2. CLASIFルーチンに含まれている画素単位の判別関数

CLASIFのルーチンでは上記のML, LI, EUの3手法を含んでおり、これらの判別関数は下記の通りである。最大尤度法はベイズの理論に基づいており判別に際し、総期待損失を最小にしようとす手法である。この手法をリモートセンシングのMSSデータに適用するに当っては、パターンの特徴変量(x_1, x_2, \dots, x_p)をMSSデータの画素のチャンネル($c_{11}, c_{12}, \dots, c_{1p}$)に置き換えて、たった群の属性子母集団(G_1, G_2, \dots, G_n)を地表クラス(C_1, C_2, \dots, C_n)と対応づけることにする。このような考え方の下では1画素 c_{ij} が地表クラス C_i に属する確率は $P(C_i | c_{ij})$ として表わすことができる。ところで、ベイズの理論によれば、すべての画素判別において誤分類を最小にする条件として、式(1)が成立することになる。また、平均損失関数 $r_j(c_{ij})$ は式(2)

$$P(C_i | c_{ij}) \cdot P(c_{ij}) = P(C_i) \cdot P(c_{ij} | C_i) \quad (i=1, 2, \dots, n) \quad \dots \dots \dots (1)$$

となる。ただし、式(2)における $L_{ij} | C_i$ が C_i に属する c_{ij} を c_j と判別したときの損失である。

$$r_j(c_{ij}) = \sum_{i=1}^n L_{ij} \cdot P(c_{ij} | C_i) P(C_i) \quad (i, j = 1, 2, \dots, n) \quad \dots \dots \dots (2)$$

分析地区的各画素を所定の地表クラス C_i に割り当てる以前において、分類前の地表クラスの事前確率 $P(G_i)$ や各地表クラスの確率関数 $P(c_{ij} | C_i)$ は不明であると考えねばならない。そこで、MSSデータはすべて多变量正規分布をするという仮定を設けることにする。この仮定の下に確率関数 $P(c_{ij} | C_i)$ は式(3)として書き表わせる。

$$P(c_{ij} | C_i) = \frac{1}{(2\pi)^{p/2} |\Sigma_i|^{1/2}} \exp \left\{ -\frac{1}{2} (c_{ij} - \mu_i)' \Sigma_i^{-1} (c_{ij} - \mu_i) \right\} \quad \dots \dots \dots (3)$$

任意の画素 c_{ij} を地表クラス C_i に割り当てるための判別関数は指數表示となるので、自然対数をとった式(4)の形式とする。この式(4)は c_{ij} の2次式であり、これがCLASIFの最大尤度法の判別関数である。

$$\ln y_i(c_{ij}) = \ln P(C_i) - \frac{1}{2} \ln |\Sigma_i| - \frac{1}{2} \{(c_{ij} - \mu_i)' \Sigma_i^{-1} (c_{ij} - \mu_i)\} \quad \dots \dots \dots (4)$$

次に各地表クラスの分散共分散行列 Σ_i が Σ_k に等しい条件の下では、式(4)の判別関数は一次式となり、線形判別関数 $y_i(\mathbf{c}\mathbf{h})$ は式(5)となる。

$$y_i(\mathbf{c}\mathbf{h}) = \log P(C_i) + \mathbf{c}\mathbf{h}' \Sigma_i^{-1} \mu_i - \frac{1}{2} \mu_i' \Sigma_i^{-1} \mu_i \quad \dots \dots \dots (5)$$

さらに、事前確率 $P(C_i)$ が $1/n$ となる条件下では判別関数は式(6)となり、ユークリッド距離法の判別関数となる。

$$y_i(\mathbf{c}\mathbf{h}) = \mathbf{c}\mathbf{h}' \mu_i - \frac{1}{2} \mu_i' \mu_i \quad \dots \dots \dots (6)$$

3. CLASIF の構成とその特徴

CLASIF は主プログラムと 7 個の副プログラム (Fig-1 参照) から構成されている。これらの処理手順の主要な部分は Fig-2 の通りであり、METHOD により、EU, LI, ML の分類手法が選択できる。また、MLにおいてはクラスのあるチャンネルの分散が零の場合、COVMATによって、

以後の処理方法を定める。次に Fig-2 の分類図②は EU, LI, ML の分類結果を重ね合わせて、すべて手法の分類結果が同一 (または異なる) 場合の画素を抽出させるものである。これらは CLASIF ルーチンの特徴といえよう。

4. 航空機の CCT データの適用結果

1974年10月御坊市上空 1500m でティダラス社の 114 チャンネルの MSS データ調査を実施した。このデータを用いて、130 カム × 200 ラインの領域を分析地区として選定し、CLASIF の稼動テストを行なった。この結果、EU (Fig-3), LI, ML (Fig-4) とも予定通りの分類図を得ることができた。そこで、EU と ML の分類結果を比較し、各画素が同一の地表クラスに割り当てられているものは ML の結果を採用し、同一でない画素は手法間の差によるものと解釈して “=” 記号で表記してみた。この結果が Fig-5 である。

5. おわりに

リモートセンシングの MSS データを用いて主題図を作成する場合によく見受けられるのは、「まず解析対象とする地区的分類図をなるべく良好な結果で求めたい」ということである。このような意味で CLASIF の ML の分類図は今後使用されると思われる。また、手法間の分類結果の比較検討に分類図②が有効と思われる。

参考文献；星仰、塙谷晋三；“USA S 手法による最大尤度法適用時にに対する一考察”，土木学会関西支部学術講演会講演概要集，IV-54, 1977.6.

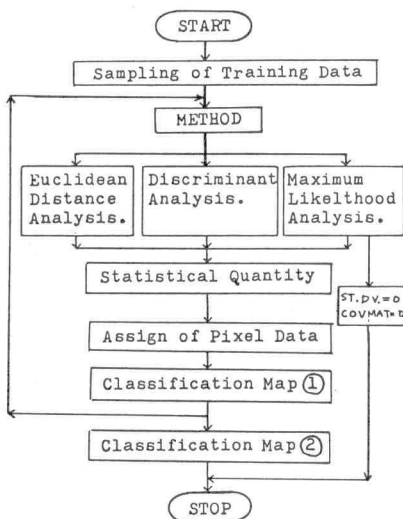


Fig-2

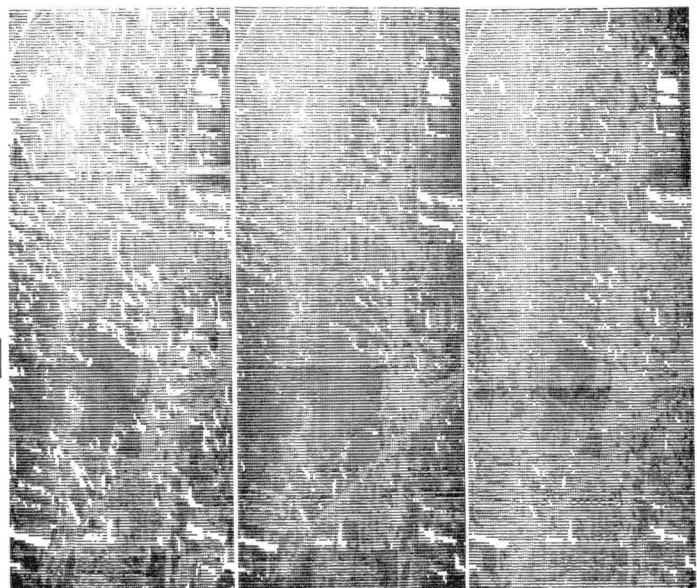


Fig-3

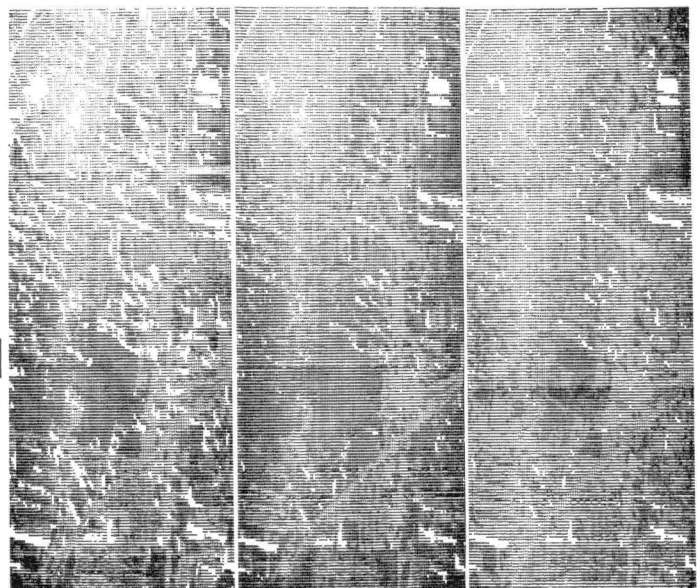


Fig-4

Fig-5

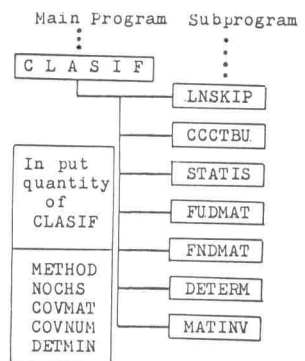


Fig-1